



2019

HERRAMIENTAS PARA LA INVESTIGACIÓN EN METEOROLOGÍA

SICHA HUAMAN RUDY GABRIEL

PONENTE EN LA SEMANA CIENTÍFICA DE LA UNALM

Instrumental Agrometeorológico

- **Sensor de Temperatura**
- **Sensor de Humedad**
- **Sensor de Presión**
- **Piranómetro**
- **Pluviómetro**
- **Geotermómetro**
- **Humedad del suelo**
- *** Sensor Infrarrojo**

Objetivo

Elaborar, calibrar y validar una estación agrometeorológica de bajo costo usando la plataforma Arduino

METODOLOGÍA

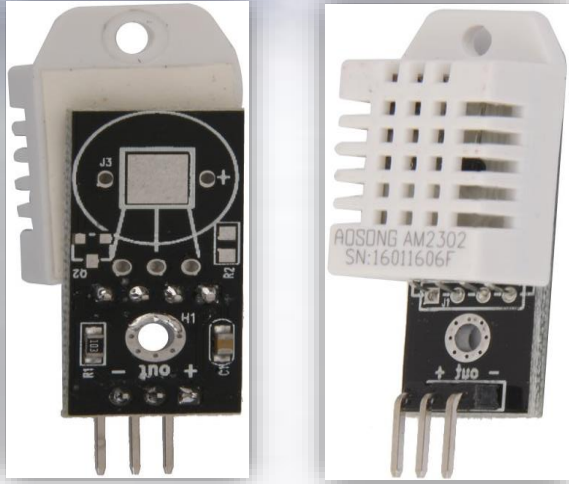
Área de desarrollo



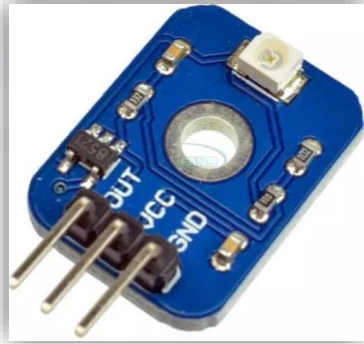
Datos

instrumental2: Bloc de notas	
Archivo	Edición Formato Ver Ayuda
fecha,BMPTEMP,PRESIONBMP,DHTTEMP,DHTHUMEDAD,PP,HS,valor_sensor,tension_Rs,vo1,res1,temp1,vo2,res2,temp2,vo3,res3,temp3,vo4,res4,temp4	
15/6/2019 12:4:29,17.90,98937,17.70,99.90,2,188,21.00,102.64,463.00,604.75,14.64,452.00,631.64,19.53,460.00,611.96,17.91,461.00,609.54,18.90	
15/6/2019 12:4:31,17.90,98941,17.70,99.90,2,186,20.00,97.75,463.00,604.75,14.64,453.00,629.14,19.64,460.00,611.96,17.91,460.00,611.96,18.78	
15/6/2019 12:4:36,17.90,98937,17.70,99.90,2,180,19.00,92.86,464.00,602.37,14.75,453.00,629.14,19.64,461.00,609.54,18.03,460.00,611.96,18.78	
15/6/2019 12:4:41,17.90,98940,17.70,99.90,2,176,20.00,97.75,462.00,607.14,14.52,453.00,629.14,19.64,463.00,604.75,18.28,468.00,592.95,19.80	
15/6/2019 12:4:46,17.90,98938,17.70,99.90,2,174,20.00,97.75,462.00,607.14,14.52,453.00,629.14,19.64,464.00,602.37,18.41,472.00,583.69,20.31	
15/6/2019 12:4:51,17.90,98938,17.70,99.90,2,170,20.00,97.75,462.00,607.14,14.52,453.00,629.14,19.64,461.00,609.54,18.03,466.00,597.64,19.54	
15/6/2019 12:4:56,17.90,98937,17.80,99.90,2,168,21.00,102.64,461.00,609.54,14.41,453.00,629.14,19.64,460.00,611.96,17.91,458.00,616.81,18.52	
15/6/2019 12:5:2,18.00,98947,17.80,99.90,2,168,20.00,97.75,461.00,609.54,14.41,451.00,634.15,19.42,461.00,609.54,18.03,458.00,616.81,18.52	
15/6/2019 12:5:7,18.00,98923,17.80,99.90,2,167,20.00,97.75,461.00,609.54,14.41,452.00,631.64,19.53,460.00,611.96,17.91,457.00,619.26,18.40	
15/6/2019 12:5:12,18.00,98940,17.90,99.90,3,166,19.00,92.86,462.00,607.14,14.52,453.00,629.14,19.64,459.00,614.38,17.79,458.00,616.81,18.52	
15/6/2019 12:5:17,17.90,98932,17.90,99.90,2,167,20.00,97.75,461.00,609.54,14.41,453.00,629.14,19.64,459.00,614.38,17.79,458.00,616.81,18.52	
15/6/2019 12:5:22,17.90,98934,18.00,99.90,2,166,20.00,97.75,460.00,611.96,14.29,454.00,626.65,19.75,459.00,614.38,17.79,458.00,616.81,18.52	
15/6/2019 12:5:28,17.90,98932,17.90,99.90,2,165,20.00,97.75,461.00,609.54,14.41,454.00,626.65,19.75,459.00,614.38,17.79,458.00,616.81,18.52	

DHT22 (Temperatura y humedad)



ML8511 (RADIACIÓN*)

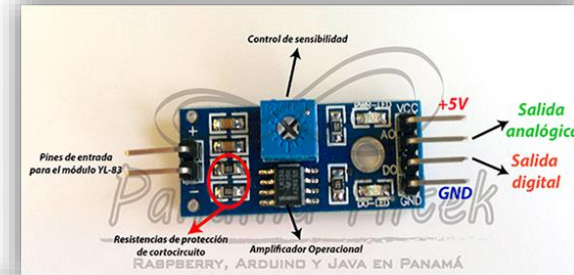
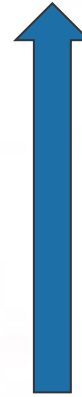


GEOTERMÓMETRO



Water Sensor SL067 (PRECIPITACIÓN)

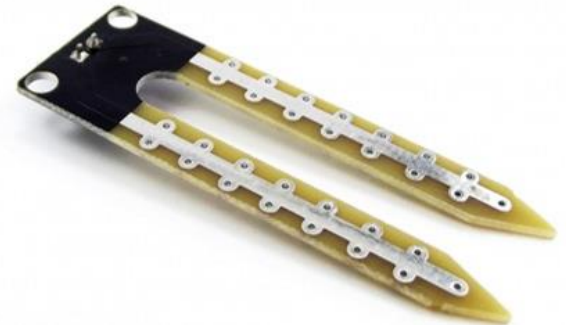
4 cm



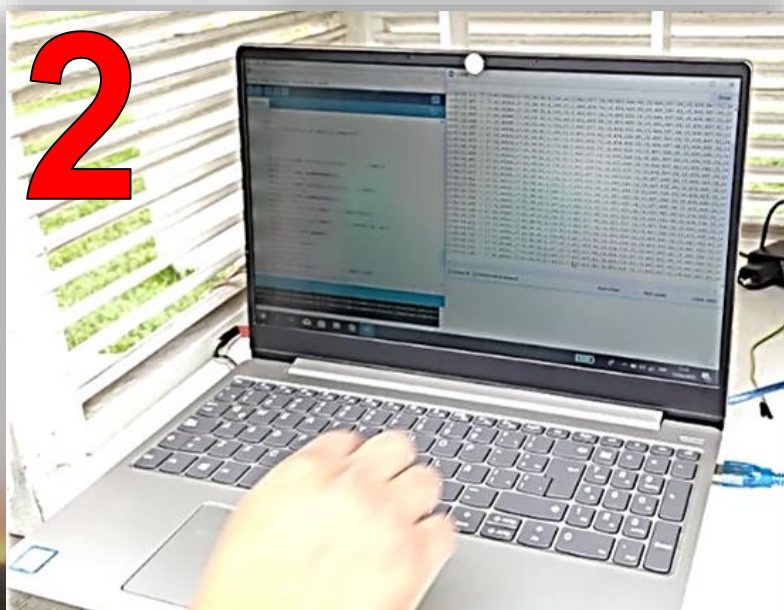
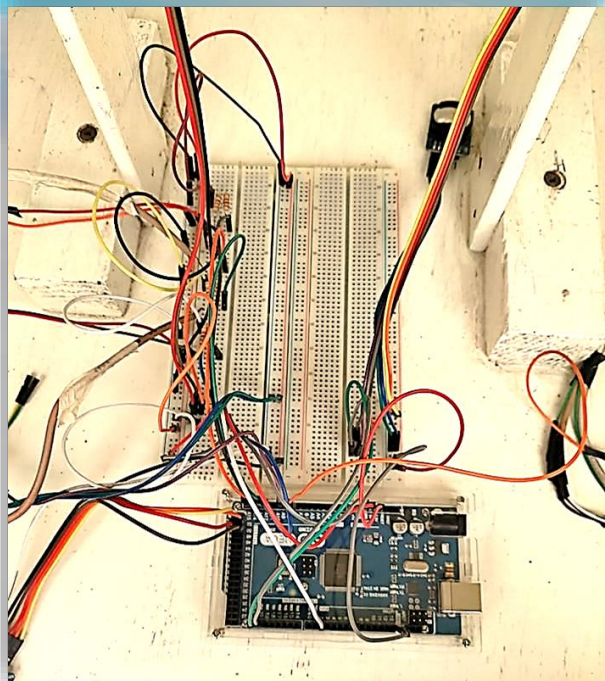
BMP180 (PRESIÓN)



SEN-HUS YL-69 (Higrómetro)



PROCEDIMIENTO

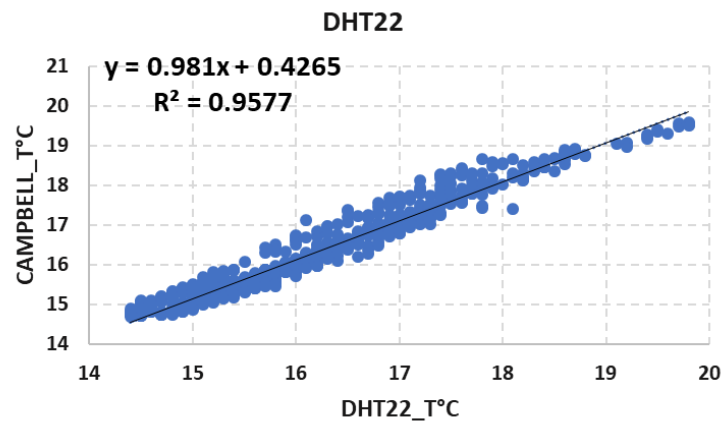
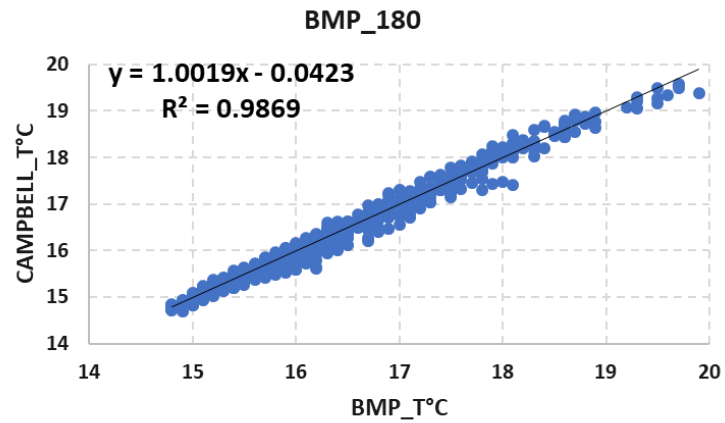


OBTENCIÓN DE INFORMACIÓN

CAMPBELL CR300



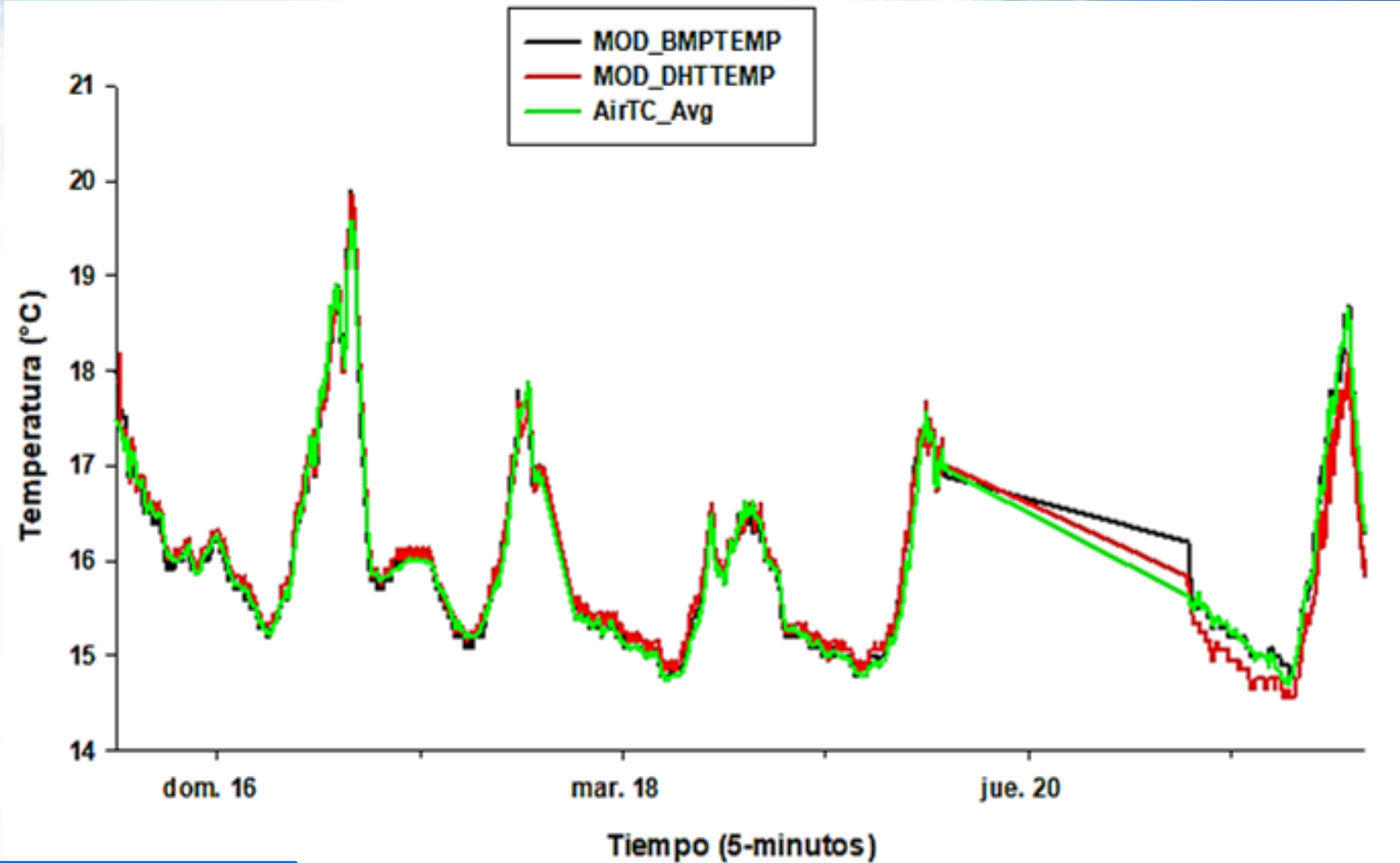
SENSOR DE TEMPERATURA



```
data: temp$BMPTEMP and temp$AirTC_Avg
t = 321.98, df = 1375, p-value < 2.2e-16
alternative hypothesis: true correlation is not equal to 0
95 percent confidence interval:
 0.9927038 0.9940906
sample estimates:
cor
0.9934335
```

Pearson's product-moment correlation

```
data: temp$DHTTEMP and temp$AirTC_Avg
t = 176.45, df = 1375, p-value < 2.2e-16
alternative hypothesis: true correlation is not equal to 0
95 percent confidence interval:
 0.9762668 0.9807476
sample estimates:
cor
0.978623
```



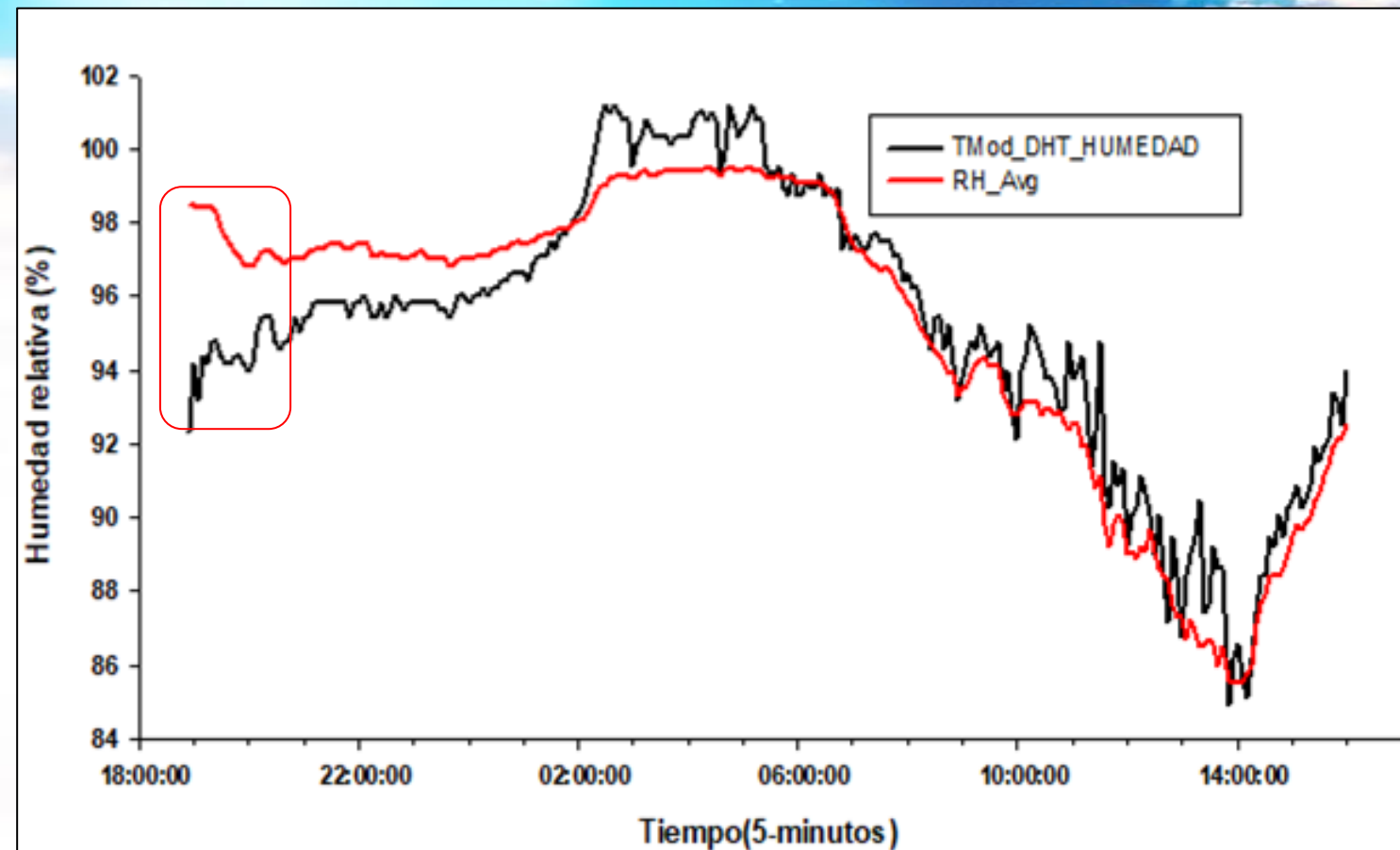
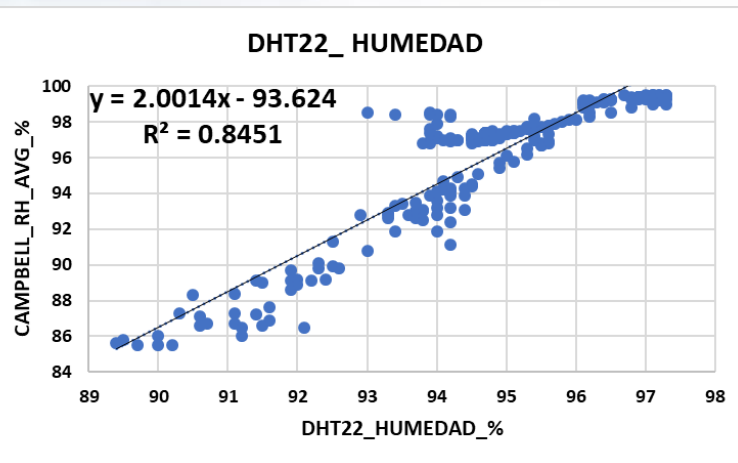
CALIBRACIÓN

VALIDACIÓN

	BMP_180	DHT22
BIAS	0.03	0.48
RMSE	8.54	2.00
r	0.99	0.99

SENSOR DE HUMEDAD

CALIBRACIÓN



VALIDACIÓN

RMSE	1.02
BIAS	1.04
r	0.97



```
> cor.test(hum_val$Mod_DHT_HUMEDAD,hum_val$RH_Avg, method = "pearson")
```

Pearson's product-moment correlation

data: hum_val\$Mod_DHT_HUMEDAD and hum_val\$RH_Avg
t = 18.558, df = 18 **p-value = 3.492e-13**
alternative hypothesis: true correlation is not equal to 0
95 percent confidence interval:
0.9361921 0.9902043
sample estimates:
cor
0.9748483

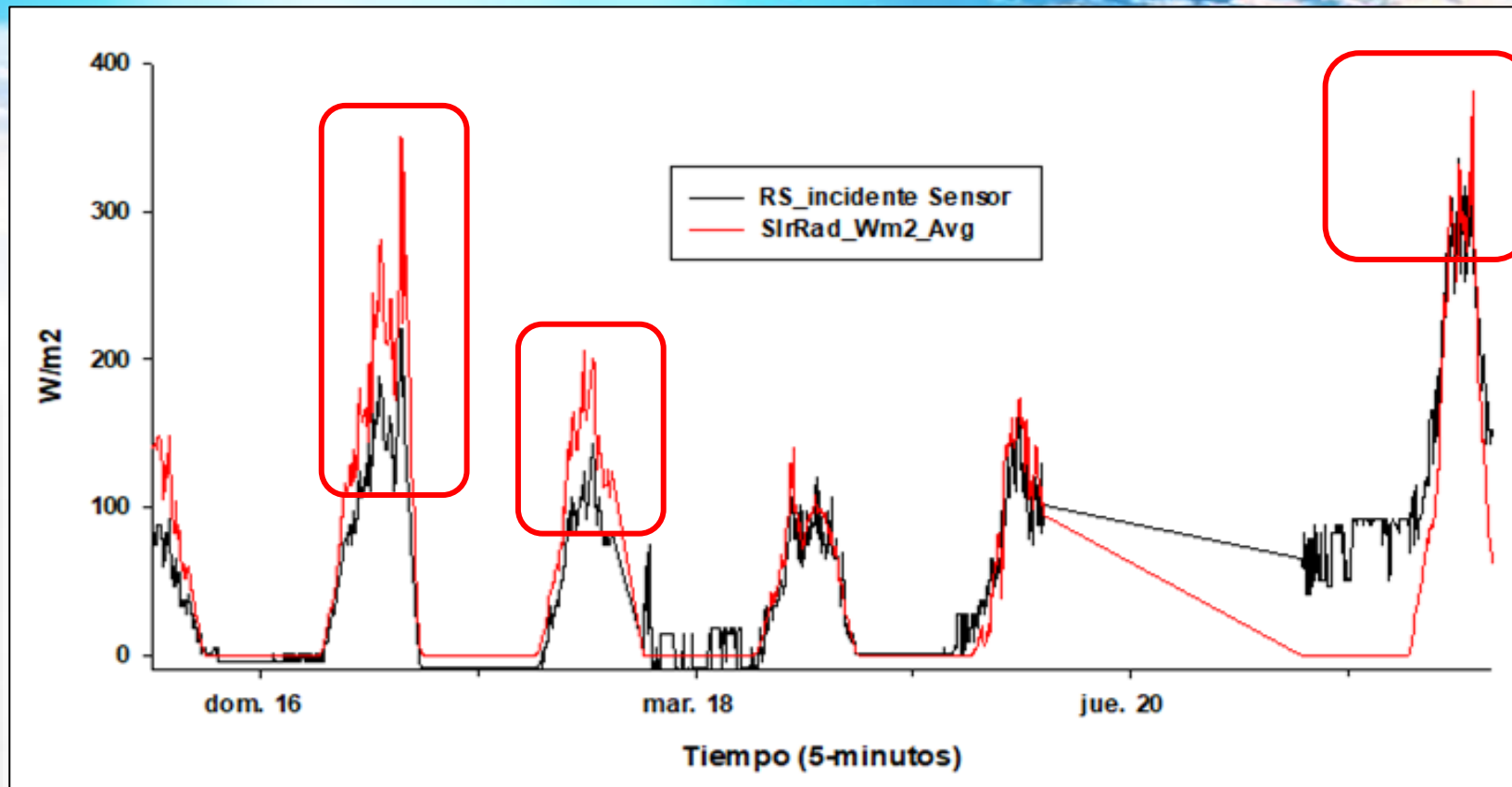
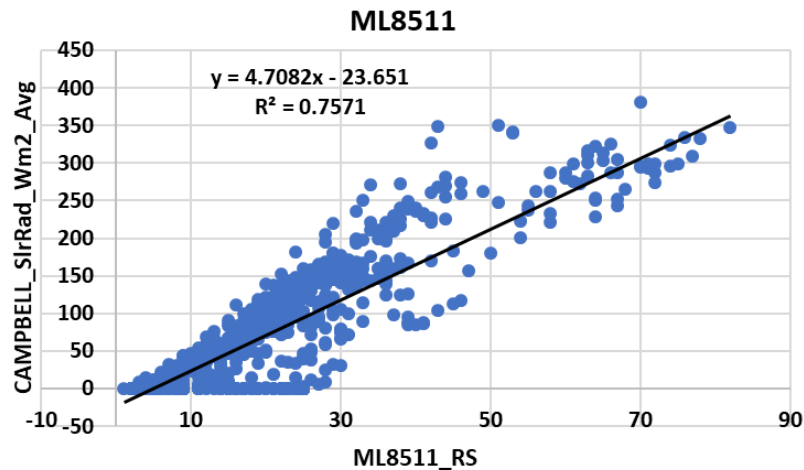
```
> cor.test(humedad$Mod_DHT_HUMEDAD,humedad$RH_Avg, method = "pearson")
```

Pearson's product-moment correlation

data: humedad\$Mod_DHT_HUMEDAD and humedad\$RH_Avg
t = 35.572, df = 232 **p-value < 2.2e-16**
alternative hypothesis: true correlation is not equal to 0
95 percent confidence interval:
0.8967478 0.9370479
sample estimates:
cor
0.9192734

PIRANÓMETRO

CALIBRACIÓN



VALIDACIÓN

RMSE	0.02
BIAS	-60.28
r	0.91

```
> cor.test(rad$RS_incidente, rad$SlrRad_wm2_Avg)
```

Pearson's product-moment correlation

data: rad\$RS_incidente and rad\$SlrRad_wm2_Avg
t = 9.2915, df = 18, p-value = 2.733e-08
alternative hypothesis: true correlation is not equal to 0
95 percent confidence interval:
0.7818708 0.9640903
sample estimates:
cor
0.909656

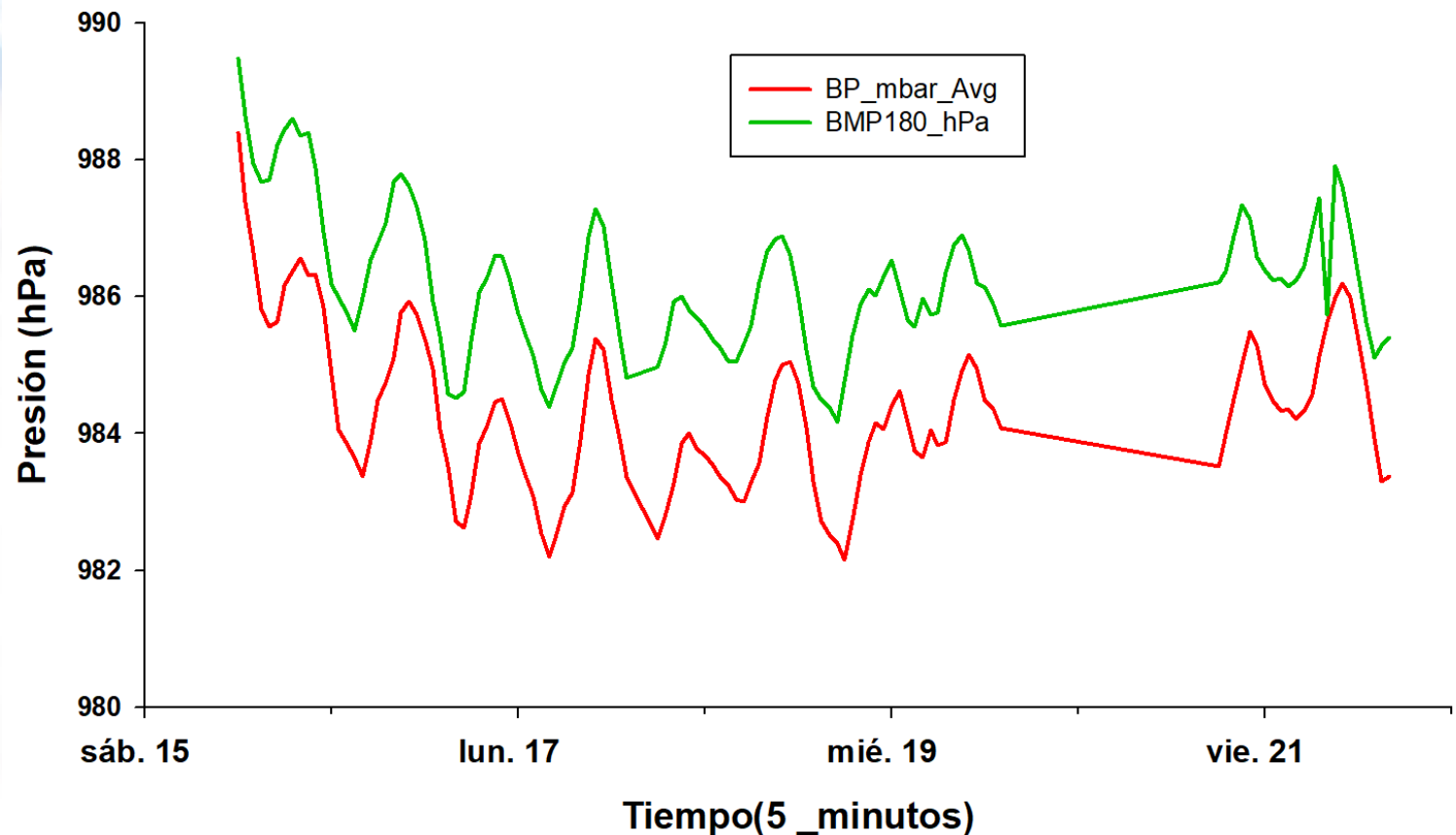
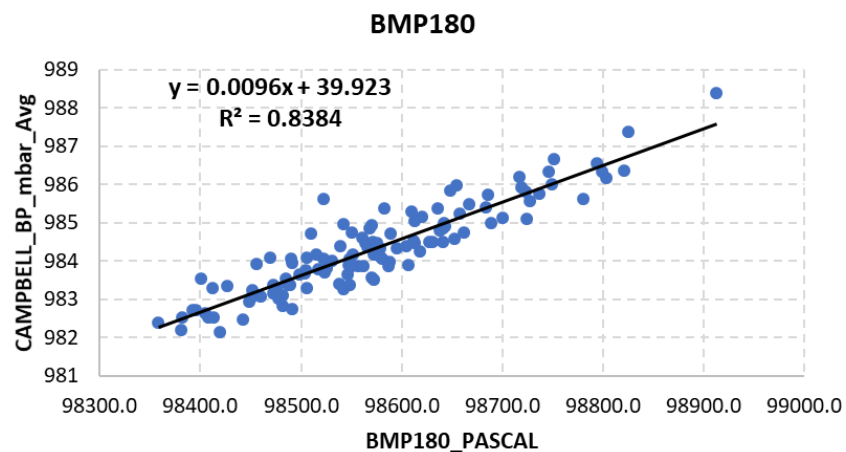
```
> cor.test(rad$RS_incidente, rad$SlrRad_wm2_Avg, method = "pearson")
```

Pearson's product-moment correlation

data: rad\$RS_incidente and rad\$SlrRad_wm2_Avg
t = 64.977, df = 1355, p-value < 2.2e-16
alternative hypothesis: true correlation is not equal to 0
95 percent confidence interval:
0.8565230 0.8824366
sample estimates:
cor
0.8700797

SENSOR DE PRESIÓN ATMOSFÉRICA

CALIBRACIÓN



VALIDACIÓN

VALIDACIÓN

BIAS	-1.64
RMSE	1.74
r	0.74

```
> cor.test(pre$BP_mbar_Avg,pre$MOD_BMP180)

Pearson's product-moment correlation

data: pre$BP_mbar_Avg and pre$MOD_BMP180
t = 3.8402, df = 12, p-value = 0.002352
alternative hypothesis: true correlation is not equal to 0
95 percent confidence interval:
 0.3497405 0.9132976
sample estimates:
      cor 
0.7425319
```

```
> cor.test(data$PRESIONBMP_promedio,data$presion_sensor, method = 'pearson')
```

Pearson's product-moment correlation

data: data\$PRESIONBMP_promedio and data\$presion_sensor
t = 24.634, df = 117, p-value < 2.2e-16
alternative hypothesis: true correlation is not equal to 0
95 percent confidence interval:
 0.8807840 0.9405977
sample estimates:

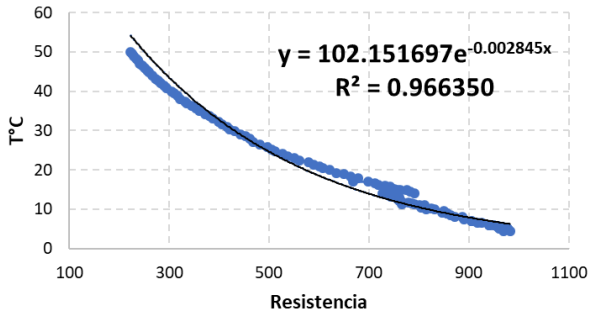
cor
0.9156197

GEOTERMÓMETRO

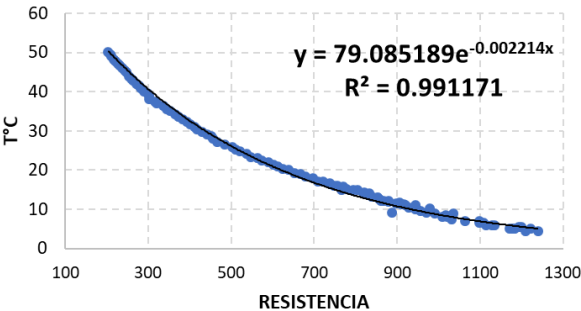
CALIBRACIÓN EN CAMPO

CALIBRACIÓN EN LABORATORIO

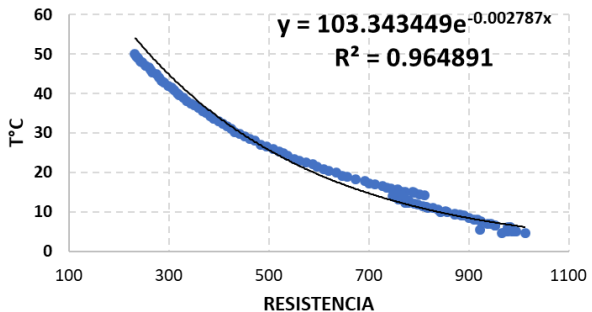
NARANJA



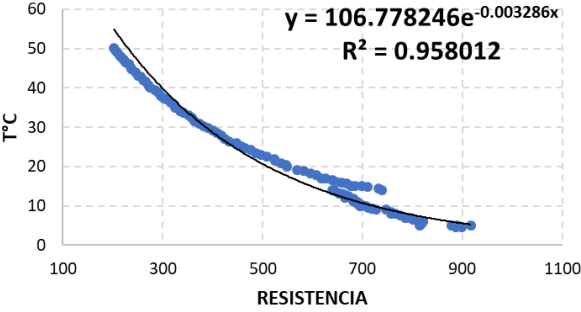
VERDE



MARRON

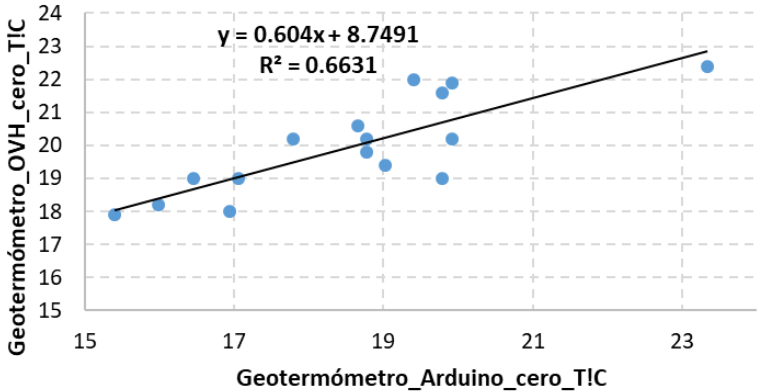


AZUL

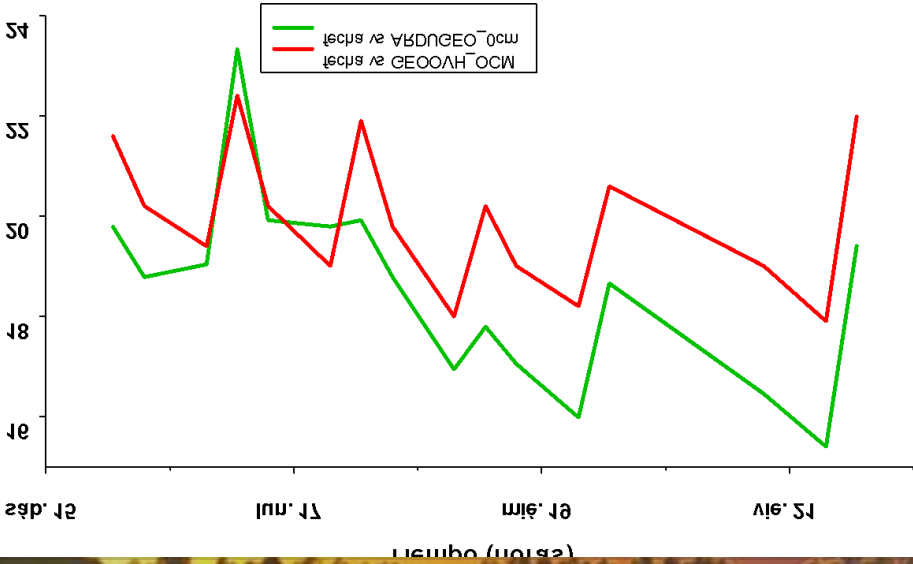


	r
Naranja	0.9931
Verde	0.9985
Marrón	0.9938
Azul	0.9908

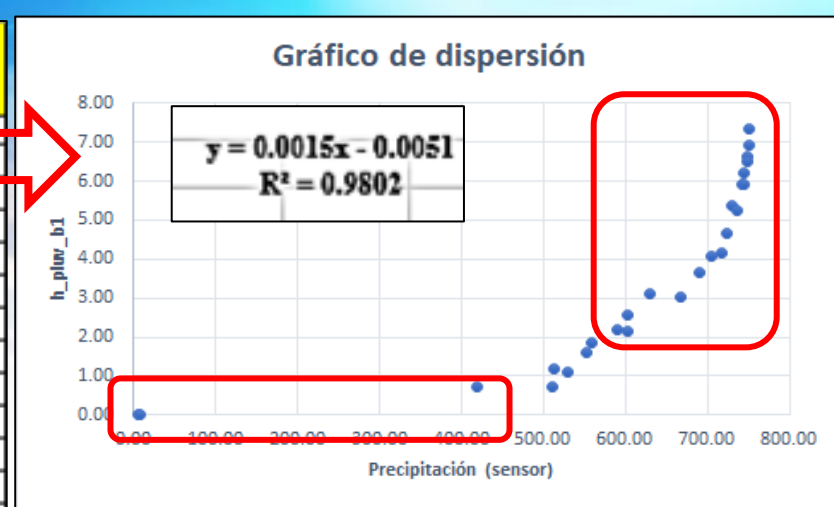
Geotermómetro_0_cm



Los siguientes niveles salió erróneo



precipitacion	altura mm	h_pluv_b1	h_pluv_b2	Vol_prob eta(cm2+ mm)
7.00	0.00	0.00	0.00	0.00
9.00	0.00	0.00	0.00	0.00
420.00	1.60	0.71	4.07	320.00
512.00	1.60	0.71	4.07	320.00
514.00	2.70	1.19	6.88	540.00
529.00	2.50	1.11	6.37	500.00
553.00	3.65	1.61	9.29	730.00
559.00	4.20	1.86	10.70	840.00
590.00	5.00	2.21	12.73	1000.00
602.00	5.80	2.56	14.77	1160.00
602.00	4.85	2.14	12.35	970.00
631.00	7.00	3.09	17.83	1400.00
667.00	6.85	3.03	17.44	1370.00
691.00	8.30	3.67	21.14	1660.00
704.00	9.20	4.07	23.43	1840.00
717.00	9.45	4.18	24.06	1890.00
723.00	10.55	4.66	26.87	2110.00
729.00	12.20	5.39	31.07	2440.00
736.00	11.90	5.26	30.30	2380.00
742.00	13.40	5.92	34.12	2680.00
745.00	13.35	5.90	34.00	2670.00
745.00	14.05	6.21	35.78	2810.00
748.00	15.00	6.63	38.20	3000.00
749.00	14.70	6.50	37.43	2940.00
750.00	16.60	7.34	42.27	3320.00
751.00	15.70	6.94	39.98	3140.00



Pluviómetro

```
> cor.test(precipitacion, h_pluv_b1, method = "spearman")
```

Spearman's rank correlation rho

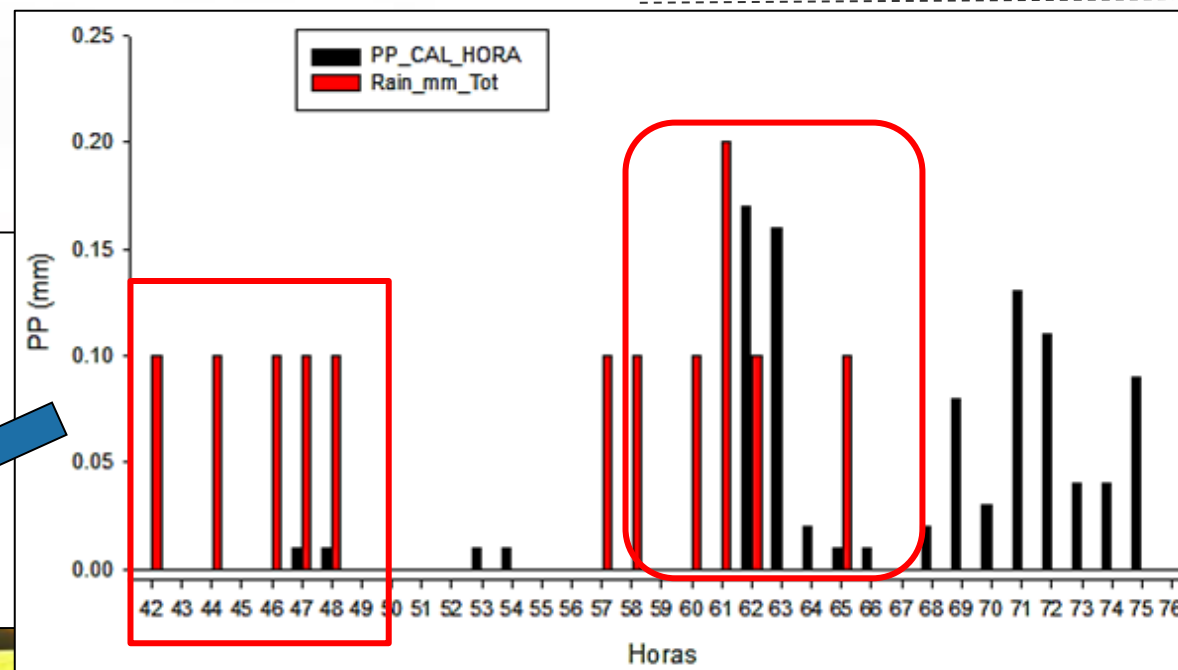
data: precipitacion and h_pluv_b1

S = 18.012, p-value < 2.2e-16

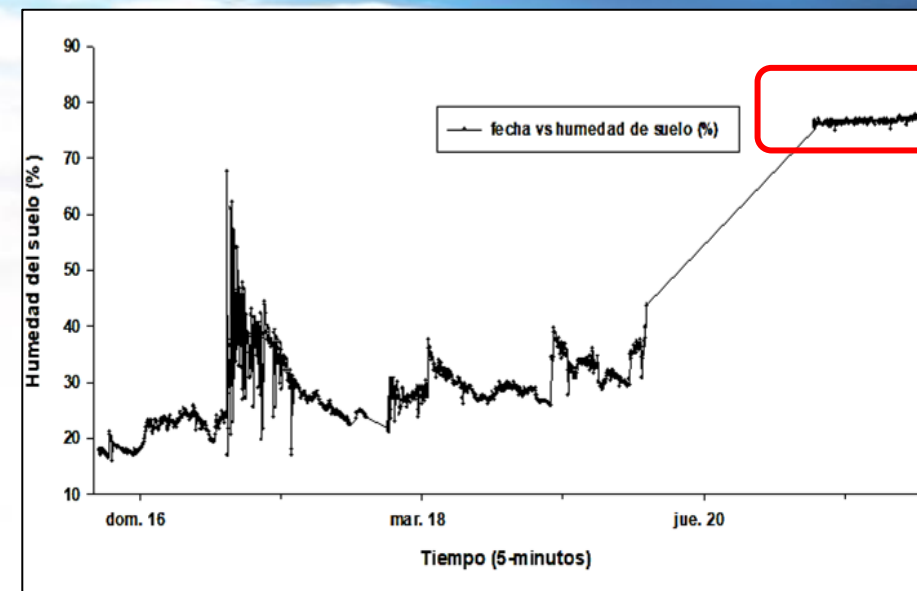
alternative hypothesis: true rho is not equal to 0

sample estimates:

rho
0.9938419



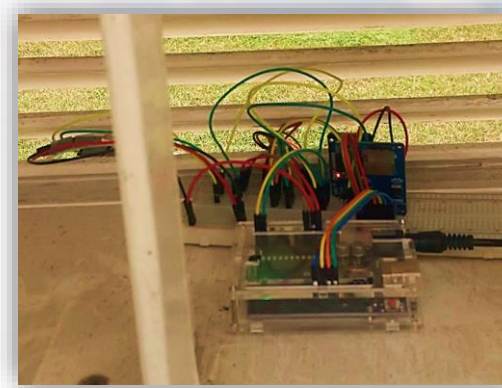
HIGRÓMETRO



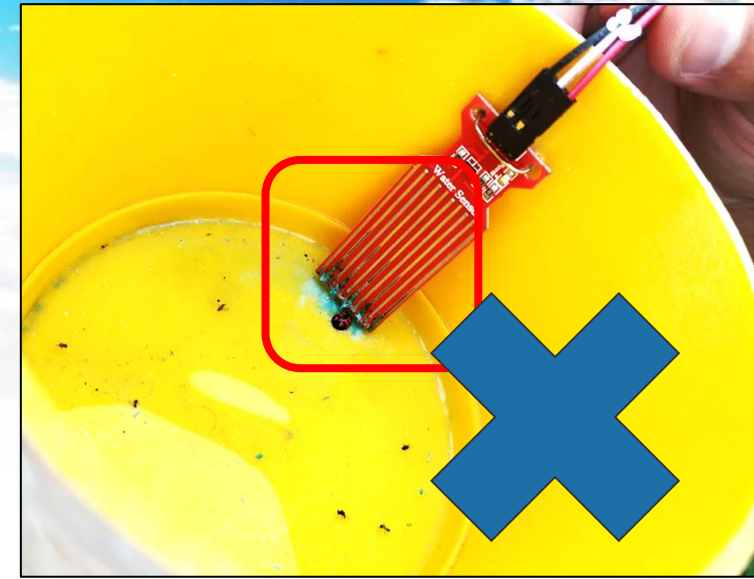
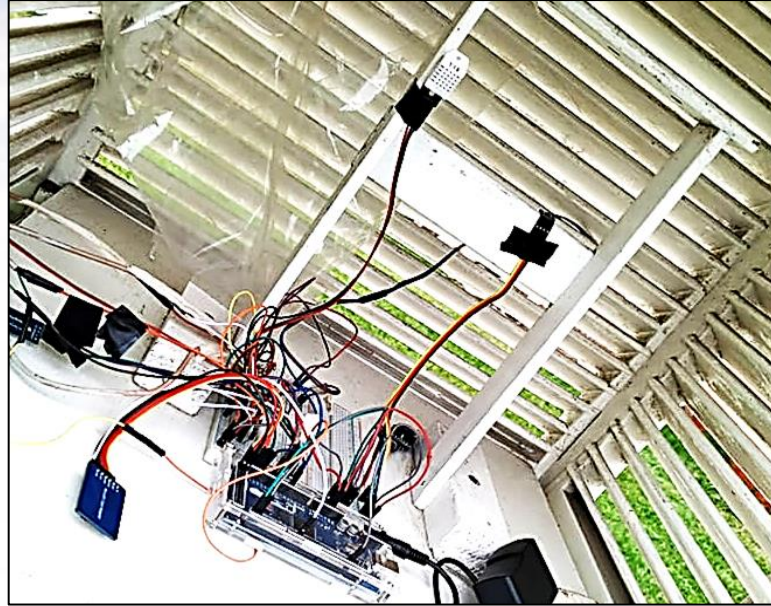
SENSORES INFRARROJOS

Lo que elaboré en prácticas

Lo que desarrollo actualmente



RECOMENDACIONES



CONCLUSIONES

- Los sensores de bajo costo de temperatura, humedad, presión y radiación presentan una alta correlación en comparación con los sensores de la estación automática Campbell CR 300, aunque el geotermómetro en sus cuatro niveles (0cm,5cm,20cm y 40cm) obtuvo una mejor respuesta en el primer nivel.
- El pluviómetro presentó una alta correlación, sin embargo no presentó una óptima respuesta para los eventos de precipitación, por otro lado el sensor de humedad del suelo no presentó el comportamiento esperado.



GRACIAS